

Руководство по оформлению статей для публикации в журнале *IOP: Conference Series* с использованием Microsoft Word

Аннотация. Все статьи должны в обязательном порядке содержать аннотацию. Текст статьи должен начинаться на той же странице, на которой располагается аннотация. Аннотация передает основную идею статьи, основные результаты и выводы. Аннотация не является частью текста и должна быть полной сама по себе: номера таблиц, рисунков, ссылки на литературу или математические выражения не включаются. Также она должна отвечать требованиям, предъявляемым базами цитирования – состоять из одного абзаца, количество слов не должно превышать 200 (200 слов для англоязычного варианта. В русскоязычном варианте – 120-140 слов). Поскольку точность выполнения запроса в современных информационно-поисковых системах в значительной степени зависит от содержания названий и аннотаций, то следует более внимательно относиться к их составлению. При подготовке статьи к публикации **необходимо использовать шаблон издательства (см. документ в формате .doc Шаблон_IOP_RUS и н.9)** с предустановленными стилями оформления.

1. Введение

Данное Руководство, оформленное в соответствии с требованиями издательства *IOP: Conference Series*, содержит примеры подготовки различных разделов и элементов статей в Microsoft Word. Все параметры, необходимые для форматирования текста, заданы в шаблоне (см. п. 9).

Очень *важно*, чтобы авторы не добавляли верхних и нижних колонтитулов или номеров страниц; они будут добавлены издательством IOP во время производственного процесса при публикации.

2. Форматирование названия статьи, имен авторов и места работы

Пожалуйста, внимательно следуйте этим инструкциям, чтобы все статьи в рамках конференции были оформлены единообразно.

2.1. Форматирование имен авторов

Оформление имен авторов – сначала идут инициалы, затем фамилия, запятая ставится после каждой фамилии, кроме предпоследней. Предпоследняя фамилия автора отделяется от последней союзом «и». После инициалов не ставятся точки, например, **J J Smith** – правильный вариант, **J. J. Smith** – неправильный. Между инициалами – пробел. Авторам, представляющим статью на русском языке для перевода на английский язык, необходимо указывать написание фамилий и инициалов на латинице.

2.2. Форматирование места работы автора

Пожалуйста, как можно точнее указывайте место работы авторов, включая страну (последовательность: полное название вуза / организации, улица, город, индекс, страна). Адреса авторов размещаются вслед за инициалами и фамилиями авторов. Если авторы имеют

разные адреса, ставится надстрочный индекс после каждой фамилии, соответствующий номеру в списке адресов. Надстрочные индексы в Word нельзя вставлять с помощью функции «Вставить сноску», а только через «Надстрочный знак». Убедитесь, что все пронумерованные верхние индексы, используемые для связывания имен и адресов авторов, начинаются с 1 и соответствуют количеству приводимых адресов. Примеры:

Current state and problems of integrated development of mineral resources base in Russia

I V Filimonova^{1,2}, L V Eder^{1,3}, M V Mishenin¹ and T M Mamakhatov¹

¹Trofimuk Institute of Petroleum Geology and Geophysics, Siberian Branch of the Russian Academy of Sciences, 3 Koptuyug Ave., Novosibirsk, 630090, Russia

²Novosibirsk State University, 2 Pirogova Street, Novosibirsk, 630090, Russia

³Federal Research Center of Coal and Coal Chemistry, Siberian Branch of the Russian Academy of Sciences, 18 Sovetskiy Ave., Kemerovo, 650000, Russia

E-mail: FilimonovaIV@list.ru

Abstract. The article deals with the issues of integrated development of subsoil resources taking into account the actual problems facing the Russian oil and gas complex. The key factors determining the need for integrated development of subsoil resources have been systematized and investigated. These factors are the change of the hydrocarbon resource base quality, the improvement of the depletion degree of basic (unique and major) oil fields, the increase in the number of small and smallest oil fields discovered and introduced into development, the increased capital intensity and the riskiness of geological exploration, and the territorial location of new subsoil use facilities.

Mineral resources of Novokuznetsk administrative district of Kemerovo region (metallic and non-metallic minerals)

Ja M Gutak

Siberian State Industrial University, 42 Kirova Street, Novokuznetsk, 654007, Russia

E-mail: gutakjaroslav@yandex.ru

Abstract. The article summarizes data on metallic and non-metallic minerals of Novokuznetsk district of Kemerovo region. Consistently reviewed are iron deposits (Tersinskaya group of deposits), gold deposits (placer accumulations and vein gold deposits), mineral water deposits (Tersinskoe deposit), deposit of refractory clay (Barkinskoe) and wide spread mineral deposits such as brick clay, keramzite materials, sand and gravel, building stones, ornamental stones, facing stones, peat, materials for lime production. It is indicated that resource base of metallic and nonmetallic minerals is inferior to that of mineral coal. At the same time it can be of considerable interest to small and medium-size businesses as objects with quick return of investment (facing and ornamental stones). For a number of wide spread mineral resources (brick clay, keramzite materials, sand and gravel) it is an important component of local industry.

3. Форматирование текста

Текст вашей статьи должен быть отформатирован следующим образом:

- Одинарный интервал.
- Абзацы должны быть выровнены по ширине.
- Первый абзац после заголовка раздела или подраздела не должен содержать отступ; последующие абзацы должны иметь отступ 5 мм.
- Ориентация всех страниц – книжная.

4. Разделы, подразделы и подподразделы

Статья должна содержать следующие разделы: **Введение** (в обязательном порядке), **Материалы** (название раздела зависит от характера и содержания представляемого материала), **Методы исследования** (название раздела зависит от характера и содержания представляемого материала), **Результаты и всестороннее рассмотрение вопроса** (в обязательном порядке), **Выводы/Заключение** (в обязательном порядке), **Благодарности** (наименование грантов, госзаданий, проектов, в рамках которых выполнено исследование), **Список литературы** (в

обязательном порядке). При выделении разделов в тексте, следует использовать предустановленные в шаблоне стили.

Нумерация:

- разделы должны быть пронумерованы 1, 2, 3 и т.д.
- подразделы должны быть пронумерованы 2.1, 2.2, 2.3 и т.д.
- подподразделы должны быть пронумерованы 2.3.1, 2.3.2 и т.д.

5. Сноски

Сносок в тексте быть не должно.

6. Рисунки

6.1. Оформление элементов статьи

Авторы должны стараться экономично использовать пространство на странице, например:

- избегать чрезмерно больших незаполненных пространств вокруг графики;
- располагать / компоновать иллюстрации таким образом, чтобы избежать излишне большого количества пустых пространств в графике.

6.2. Расположение рисунков

Отдельные рисунки должны быть расположены по центру. Если позволяет ширина страницы, расположите два рисунка вместе. Рисунки не должны располагаться до ссылки на них в тексте.

6.3. Нумерация рисунков

Подрисуночные подписи должны располагаться ниже рисунков и быть отделены от них 1 интервалом равным шрифту 6, хотя для экономии места приемлемо помещать подпись рядом с рисунком. Рисунки должны быть последовательно пронумерованы и в тексте ссылки на них даются следующим образом: «рисунок 1», «рисунок 2», а не «Рис. 1», «рис. 2». В подрисуночных подписях пишется – «**Рисунок 1.**», «**Рисунок 2.**» и т.д. (выделяется полужирным шрифтом). В конце подписи ставится точка.

Примеры оформления рисунков в тексте:

1)

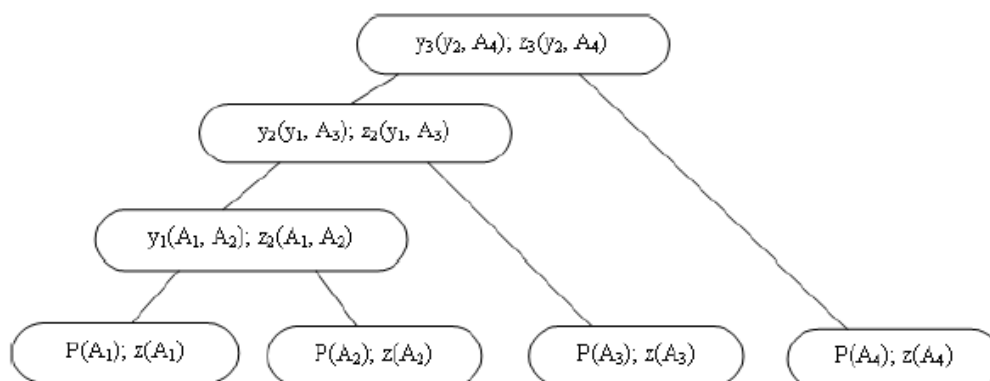


Figure 2. Network representation of functions $P(A_i)$ and $z(A_i)$.

2)

depth. In reality, there appear a superposition of shear waves (S-wave) and compressional wave (P-waves) in the geophone operating area but it does not influence sufficiently both on the danger indicator of the dynamic phenomena manifestation and on the depth of the method's sensitivity zone ahead of the opening face.

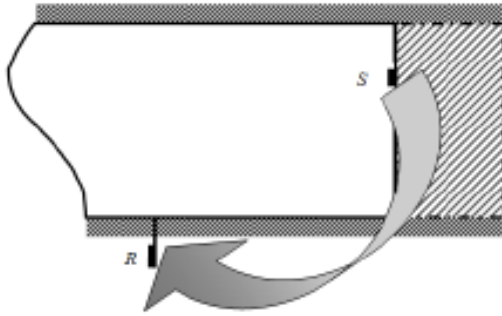


Figure 1. Scheme of the sound propagation starting from the source of the sound *S* (for example, tunneling machine) to the receiver of the signal *R* while forecasting outburst danger in the preliminary opening.

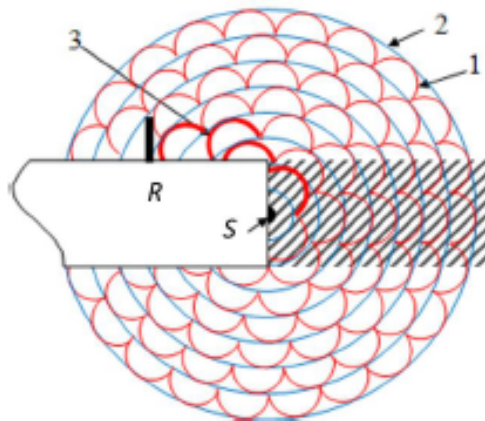


Figure 2. Scheme of a single sound harmonic propagation from the transmitter *S* to the receiver *R* according to Huygen's principle: 1- elementary spherical waves; 2 – resultant wave front; 3 – half wave propagation trajectory from the transmitter to the receiver.

Figure 3 explains the case of the reflection caused by disjunctive dislocation. The front of the reflected radiation is obtained according to geometrical acoustics principle. Regulating the line thickness it demonstrates that the farther the distance from the radiation source *S* the less the wave

However, for the scheme of the sound propagation, depicted in figure 1, the receiver is positioned in a specific acoustic shadow area. That is why the diffraction of sound in the point of changing the direction of propagation will effect on the resultant acoustic field of a receiver. A qualitative evaluation of the sound diffraction effect can be obtained through application of Huygen's principle [7].

The principle states that any wave of any shape can be considered consisting of a large number of spherical waves of similar frequency (so called elementary wave). Each of such waves is propagated from its own starting point and possesses its own initial phase and amplitude. Thereby any wave front can be considered as an envelope of all these elementary waves with their starting points in the former wave front [7]. Consequently, the scheme of a single sound harmonic propagation from the transmitter to the receiver is viewed as follows (figure 2)

Figure 2 presents a vivid idea that the farther the receiving geophone is installed into the wall of the opening and the closer to the opposite side of the wall of the opening the cutting unit of a mining combine is then the wider the zone ahead of the opening face that acoustic wave radiation covers before reaching the geophone. Thus, the width of the zone can reach 2-3 half-waves i.e. critical probing depth ahead of the opening face for this model is around 1.5 m. It is obvious that the depth of such zone for a harmonic with bigger wavelength will be even larger.

It is known that gas-dynamic phenomena as sudden coal and gas outbursts and other similar ones manifest themselves near the dislocated zones. In this case to the sound that floated from the transmitter to the receiver according to the scheme depicted in figure 2, radiation that reflected from the dislocated area of a seam is added.

3)

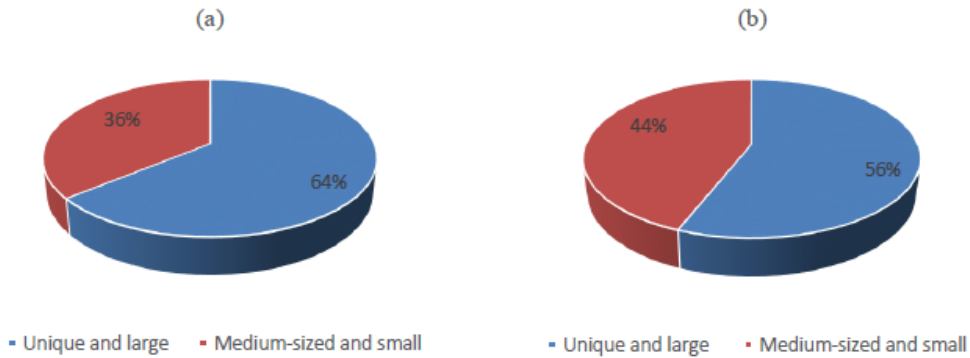


Figure 1. The share of unique and major fields in Russia in (a) initial recoverable oil reserves, (b) current recoverable oil reserves.

4)

2. Results and discussion

This paper focuses on the alternative way of problem solution, allowing any of the discussed methods to be used. After welded joints upset and cooling at the time of reaching the required temperature it is proposed to perform quasi-isothermal exposure by passing pulses of alternating electric current through the welded joint. To avoid the formation of quenching structures the exposure temperature is selected based on the obtaining of a fine-grained structure of the weld metal (figure 1). The exposure time is determined by the incubation period of the formation of the required structure and is controlled by the number of current pulses.

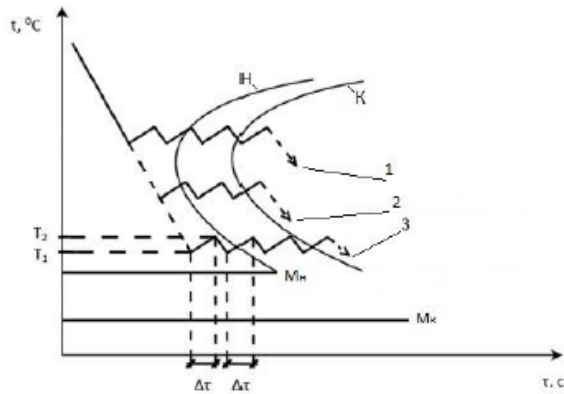


Figure 1. Scheme of isothermal austenite decay with different quasi-isothermal modes of samples exposure after welding for obtaining of perlite (1), sorbitol (2) or bainite (3) structures.

range of 650 – 600 ° C sorbitol is formed after austenite transformation (a finer ferritic-cementite mixture is finer than perlite). At even higher degrees of supercooling in the temperature range 600 – 500 °C, troostite (a finer plate ferritic-cementite mixture in comparison with sorbitol) is obtained [8].

In order to judge about the degree of austenite supercooling, the procedure for calculating the cooling of the welded joint was used [9]. It was assumed that with the upset ($t = t_w$), the heated metal of each rod is removed at length d . In this case, for the initial temperature distribution at the cooling stage ($t > t_w$) we take the known solution $T(x, t_w)$ at the end of the heating. Placing the beginning of the X-axis in the center of the weld we obtain.

During the steel cooling in the austenite state (from high-temperatures range region), the austenite transformation occurs only after its supercooling below the eutectoid temperature $Ar_1 = 727$ °C, which is explained by the change in the free energy of alloys phases and structures upon heating and cooling. At low temperatures perlite has less amount of free energy as compared to austenite, so with steel supercooling the austenite transforms in a plate-like perlite (ferritic-cementite mixture). The greater the degree of austenite supercooling, the finer the ferritic-cementite mixture is. The resulting pearlite structures depend on temperature. With a small degree of austenite supercooling in the temperature range 727 – 650 °C perlite is obtained. With a greater degree of supercooling in the temperature

5)

Turn back to the problem. At the upper boundary AD of the initially equilibrium medium (figure 3), we assign the vertical pressure F_z that gradually increases in value from zero until pressure conformable with the mining depth of 300 m. Figure 5 depicts the state of the medium under deformation at the final stage of loading. It is seen that as a consequence of the zero boundary conditions at the contour of the heading, squeezing of edge coal towards the heading takes place, and high subsidence of the heading roof is visible. The blocks composing the caved material deform under the weight of the overlying rocks and fall in the mined-out area.

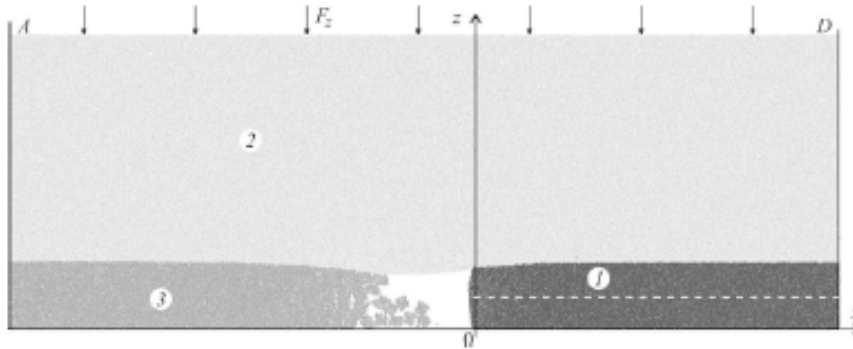
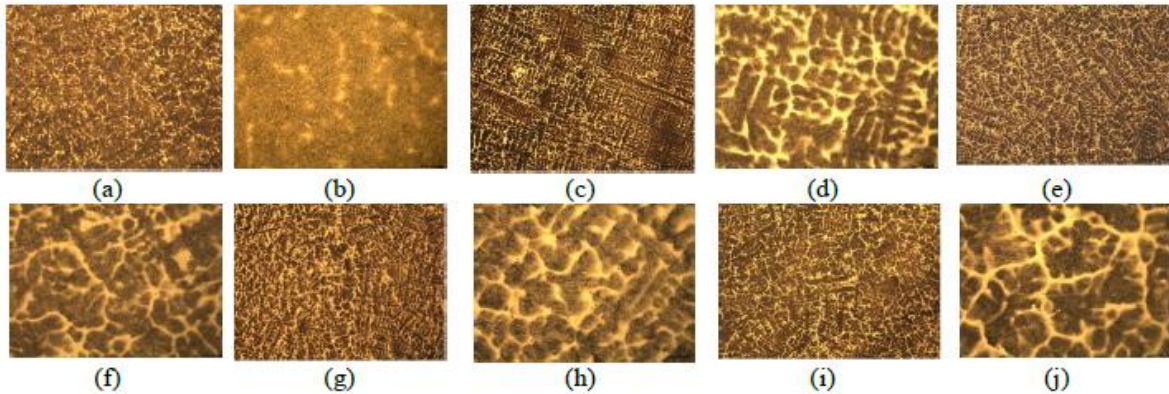


Figure 5. State of the medium at the last stage of deformation.

The distribution of horizontal and vertical stresses in discrete elements is illustrated in figure 6. Here, particles having higher compression modulus are shown by the darker color, and the particles with the lower compression modulus — by the lighter color.

6.4. Рисунок, состоящий из нескольких частей

Если рисунок состоит из нескольких частей, они должны быть обозначены как (a), (b), (c) и т.д.



a, b – No. 1; c, d – No. 2; e, f – No. 3; g, h – No. 4; h, j – No. 5

Figure 1. Microstructure of the examined samples, (a, c, e, g, i $\times 100$), (b, d, f, h, j $\times 500$).

6.5. Нарисуночные подписи

Авторам, представляющим статьи на русском языке для перевода на английский язык, **необходимо выписать в отдельный .doc файл все нарисуночные подписи (легенды) с рисунков (при наличии) и прислать вместе с текстом самой статьи**. Также, если в статье используются терминологические сокращения, индексы (например, в уравнениях), расшифровка которых не дается в тексте, их расшифровку необходимо привести в том же .doc

файле после нарисованных подписей (в противном случае сокращения, индексы будут транслитерированы).

Авторам, представляющим статьи на английском языке необходимо проследить, чтобы все нарисованные надписи (легенды) были переведены на английский язык.

Размер текста на рисунках (кроме надстрочных / подстрочных индексов) должен быть того же размера, что и основной текст (11 шрифт Times).

7. Таблицы

Обратите внимание: в таблицах размер шрифта может быть уменьшен, чтобы не разрывать таблицу или привести ее в соответствие с шириной страницы.

7.1. Расположение таблиц

Таблицы размещаются по центру.

7.2. Таблицы, состоящие из нескольких частей

Если таблица разделена на части, они подписываются как (a), (b), (c) и т.д.

7.3. Нумерация таблиц

Таблицы должны быть последовательно пронумерованы в тексте (таблица 1, а не табл. 1 и т.п.). Название таблицы размещается над таблицей, и в конце ставится точка. За исключением очень узких таблиц с объемным заголовком (см. примеры ниже), по ширине заголовков должен быть такой же, как и таблица. Слово «таблица» в названии выделяется полужирным шрифтом, после него ставится точка.

7.4. Линии в таблицах

Таблицы должны иметь только горизонтальные линии. Как правило, следует использовать только три линии: одна в верхней части таблицы, одна внизу, и одна для разделения записей в заголовках столбцов. Толщина линии 0,5.

7.5. Примеры

Поскольку таблицы могут принимать различные формы, трудно дать подробные рекомендации; однако следующие примеры демонстрируют предпочтительные стили оформления.

Table 3. A slightly more complex table with a narrow caption.

	Wake Chi Sqr. ($N=15, df=1$)	p	Stage 1 Chi Sqr. ($N=15, df=1$)	p	Stage 2 Chi Sqr. ($N=15, df=1$)	p
F3	1.143	0.285	0.286	0.593	0.286	0.593
Fz	1.143	0.285	0.067	0.796	0.067	0.796
C4	2.571	0.109	0.600	0.439	1.667	0.197

Table 4. A simple table. Place the caption above the table. Here the caption is wider than the table so we extend it slightly outside the width of the table. Justify the text. Leave 6pt of space between the caption and the top of the table.

Distance (m)	Velocity (ms^{-1})
100	23.56
150	34.64
200	23.76
250	27.9

Table 5. A slightly more complex table with a caption that is the same width as the table. Simply place the caption inside a row at the top of the table and merge (combine) the cells together so that you have a single table cell the width of the table. Justify the caption.

	Wake Chi Sqr. ($N=15, df=1$)	p	Stage 1 Chi Sqr. ($N=15, df=1$)	p	Stage 2 Chi Sqr. ($N=15, df=1$)	p
F3	1.143	0.285	0.286	0.593	0.286	0.593
Fz	1.143	0.285	0.067	0.796	0.067	0.796
Cz	1.143	0.285	0.077	0.782	0.286	0.593

7.6. Примечания к таблицам

Если вы хотите отформатировать таблицу так, чтобы она содержала примечания к записям внутри тела таблицы и / или в названии таблицы, эти примечания должны быть внесены с использованием алфавитных надстрочных индексов, таких как ^a, ^b, ^c и т.д. в нижней части таблицы. Примечания в заголовке таблицы должны быть указаны первыми. Одним из удобных способов является создание пустой строки в нижней части таблицы для их размещения. Объедините ячейки таким образом, чтобы создать одну ячейку по ширине таблицы. Шрифт 10 Times, прямой. Каждое примечание должно быть оформлено отдельной строкой.

Table 6. A table with headings spanning two columns and containing notes^a.

Nucleus	Thickness (mg cm^{-2})	Composition	Separation energies	
			γ, n (MeV)	$\gamma, 2n$ (MeV)
¹⁸¹ Ta	19.3±0.1 ^b	Natural	7.6	14.2
²⁰⁸ Pb	3.8±0.8 ^c	99% enriched	7.4	14.1
²⁰⁹ Bi	2.6±0.01 ^c	Natural	7.5	14.4

^aNotes are referenced using alpha superscripts.

^bSelf-supporting.

^cDeposited over Al backing.

8. Уравнения и математика

8.1. Шрифты в редакторе уравнений (или MathType)

Убедитесь, что ваш редактор формул или шрифты MathType, настроены так, чтобы соответствовать шрифту вашей статьи. **Уравнения в виде картинок (.bmp, .jpeg) вставлять нельзя.**

8.2. Стилль

Векторы. Полуужирные / курсивные символы – предпочтительный стиль, но автор может использовать любое стандартное обозначение; например, любой из этих стилей для векторов является приемлемым:

- ‘the vector cross product of **a** and **b** is given by $\mathbf{a} \times \mathbf{b} \dots$ ’, or
- ‘the vector cross product of **a** and **b** is given by $\mathbf{a} \times \mathbf{b} \dots$ ’, or
- ‘the vector cross product of \vec{a} and \vec{b} is given by $\vec{a} \times \vec{b} \dots$ ’.

Дробная черта (‘/’). Следует избегать дробной черты, например, использовать

- $\frac{1}{M_a} \left(\int_0^\infty d\omega \frac{|S_0|^2}{N} \right)^{-1}$ вместо $\frac{1}{M_a} / \int_0^\infty d\omega \frac{|S_0|^2}{N}$
- $\left(\frac{x^2 + y^2}{x + y} \right)^{1/2}$ вместо $\sqrt{\left(\frac{x^2 + y^2}{x + y} \right)}$.

Прямой шрифт и курсив в математике. *Переменные должны быть выделены курсивом*; однако есть некоторые случаи, когда лучше использовать прямой шрифт, например:

- $\tan \theta = dy/dx$.
- $y = e^x$.
- $i = \sqrt{-1}$.
- \cos , \sin , \det и \ker .
- в подстрочных и надстрочных надписях, не являющимися переменными, а сокращением различных слов – индексами, например, $\varepsilon_m = -g\mu_n Bm$
 m – спин ядра, переменная; n – обозначение «ядерный».

8.3. Математика

Примеры оформления:

$$\phi_k(\vec{r}) = (2\pi)^{2/3} \exp(i\vec{k} \cdot \vec{r}) \quad (1)$$

$$A^{(3/2)} = A^{(+)} - A^{(-)} \quad (I = \frac{3}{2}) \quad (2)$$

$$C(12) = [\vec{\pi}(x) \cdot \vec{\phi}(x+r)] \approx 1 - \text{const} \frac{r^2}{L^2} \int_r^L \frac{xdx}{x^2} + \dots \approx 1 - \text{const} \frac{r^2}{L^2} \ln\left(\frac{L}{r}\right) + \dots \quad (3)$$

$$Y(h\nu) = \frac{1}{q} \frac{(h\nu)^2}{[(h\nu_r)^2 - (h\nu)^2]^2 + (\hbar\Delta\omega_{1/2})^2 (h\nu)^2} \int_{E_\tau - E_\nu - \Delta\phi}^\infty \frac{[E + (E_\nu - h\nu)]^{1/2}}{[E + (E_\nu - E_-)]^{1/2}} \frac{E}{\exp[(E - E_m)/kT] + 1} dE \quad (4)$$

8.4. Разное

- Экспоненциальные выражения, особенно те, которые содержат нижние индексы или верхние индексы, более ясны, если использовать обозначение $\exp(\dots)$, за исключением простых примеров. $\exp[i(kx - \omega t)]$ и $\exp(z^2)$ предпочтительнее $e^{i(kx - \omega t)}$ и e^{z^2} , но e^2 приемлемо. Аналогично знак квадратного корня должен использоваться только с относительно простыми выражениями, например $\sqrt{2}$. В остальных случаях следует использовать степень $1/2$.
- Важно дифференцировать $\ln = \log_e$ и $\lg = \log_{10}$.
- Скобки используются в следующем порядке: $\{\{()\}\}$. Однако это упорядочение можно игнорировать, если скобки имеют особый смысл (например, если они обозначают среднее значение или функцию).
- Десятичным дробям всегда должен предшествовать ноль: например, 0.123 а не .123. Обратите внимание, что **в числовых значениях не ставится запятая, только десятичная точка** (поскольку в англоязычных странах точка используется в качестве десятичного разделителя).

- Уравнения, упомянутые в статье, должны быть пронумерованы с номером в правой части. В тексте ссылка на уравнение записывать: уравнение (1) или уравнение (1.2) и т.д.
- Запрещается использовать графические изображения математических знаков (интегралы, корни и т.д.) в форматах jpeg, bmp и т.д.

Благодарности

Авторы, желающие подтвердить помощь или поддержку со стороны коллег, специальную работу технического персонала или финансовую поддержку со стороны организаций, должны сделать это в нумерованном разделе «Благодарности» сразу после последнего пронумерованного раздела статьи. Раздел «Благодарности» идет перед списком литературы. Раздел «Список литературы» также не нумеруется.

Список литературы

В рамках системы Journal of Physics: Conference Series онлайн-версии всех справочных списков будут, по возможности, связаны электронным путем с использованием CrossRef. Следовательно, важно, чтобы все ссылки были точными и были тщательно отформатированы с использованием приведенных ниже рекомендаций, позволяя вашему документу быть доступным в Интернете с минимальной задержкой.

Полная ссылка должна предоставить читателю достаточную информацию для поиска соответствующей статьи, будь то в печатной или электронной форме, и должна, в зависимости от типа ссылки, состоять из:

- имя (имена) и инициалы;
- дата опубликования;
- название журнала, книги или другой публикации;
- номер тома;
- редакторы, если таковые имеются;
- город публикации и издателя в круглых скобках для книг;
- номера страниц.

В списке литературы выходные данные изданий прописываются в порядке появления ссылок на них в тексте, а не в алфавитном порядке.

- Для авторов указывается фамилия, за которой следуют инициалы без точек. Авторы должны быть разделены запятой, за исключением последних двух – **между ними ставится союз «и»**.
- Названия статей не приводятся.
- Следует указывать страницы в кратчайшей форме и разделять знаком «–» (тире, просьба не путать с дефисом), например, 1203–14, то есть число «12» во втором случае не повторяется.

Ссылка на статью из журнала содержит три изменения шрифта (см. таблицу 1).

Таблица 1. Стили шрифтов для ссылки на статью журнала.

Элемент	Стиль
Авторы, дата	Прямой шрифт
Название журнала	Курсив
Номер журнала	Полужирный
Страницы	Прямой шрифт

Примеры ссылок на журналы:

- [1] Karkhin V et al 2008 *Welding* **1** 12–7
- [2] Strite S and Morkoc H 1992 *J. Vac. Sci. Technol. B* **10** 1237
- [3] Nakamura S, Senoh M, Nagahama S, Iwase N, Yamada T, Matsushita T, Kiyoku H and Sugimoto Y 1996 *Japan. J. Appl. Phys.* **35** L74
- [4] Kazakov Yu V et al 1991 *Welding Int.* **5(3)** 202–5

В ссылках на электронные журналы приводятся номера статей, а не диапазоны страниц, так как большинство электронных журналов публикуют каждую статью с первой страницы.

Примеры:

- [1] Kozyrev N A, Kryukov R E et al 2016 *IOP Conf. Series: Materials Sci. and Eng.* **125** 012034

Ссылки на книги, материалы конференций и отчеты. Оформление ссылок на книги, материалы и отчеты похоже на оформление ссылок на журналы, но имеет только два изменения шрифта (см. таблицу 2).

Таблица 2. Стили шрифтов для ссылок на книги, материалы конференций и отчеты.

Элемент	Стиль
Авторы, дата	Прямой шрифт
Название книги	Наклонный шрифт
Редакторы	Прямой шрифт
Место (город, страну и т.д.) проведения конференции, издатель	Прямой шрифт
Том, страницы	Прямой шрифт

- Названия книг выделены курсивом, и каждое слово (кроме служебных частей речи) должно начинаться с заглавной буквы.
- За номером тома, например, Т 2 следует редактор, например «ред А Б Иванов и Р Г Сидоров». Используйте и др., если приводятся более двух редакторов. Далее в скобках идет город публикации, двоеточие и издатель, общее количество страниц / номера страниц, которым предшествует «с».

Примеры:

- [1] Sze S M 1969 *Physics of Semiconductor Devices* (New York: Wiley–Interscience)
- [2] Dorman L I 1975 *Variations of Galactic Cosmic Rays* (Moscow: Moscow State University Press) p 103
- [3] Caplar R and Kulisic P 1973 *Proc. Int. Conf. on Nuclear Physics (Munich)* vol 1 (Amsterdam: North-Holland/American Elsevier) p 517
- [4] Szytula A and Leciejewicz J 1989 *Handbook on the Physics and Chemistry of Rare Earths* vol 12, ed K A Gschneidner Jr and L Erwin (Amsterdam: Elsevier) p 133
- [5] Pavlova L D and Fryanov V N 2008 *Proc. of Int. Conf. on Geodynamics and Stress State of the Earth Interior* (Novosibirsk: IGD SB RAS) pp 457–465
- [6] Shevchenko R E 2016 *Proc. of the All-Russian Sci. Conf. of Students, Graduate Students and Young Scientists in Natural and Technical Sciences* (Novokuznetsk: SibSIU) pp 196–198

Примеры оформления патентов, диссертаций, нормативных актов, ссылок на интернет страниц:

- [1] Popova M V, Gertsen V V, Doronchenko A V and Afanas'ev V K 1999 Pat. of the Russian Federation No 98104521 appl. 05.03.1998, publ. 10.09.1999

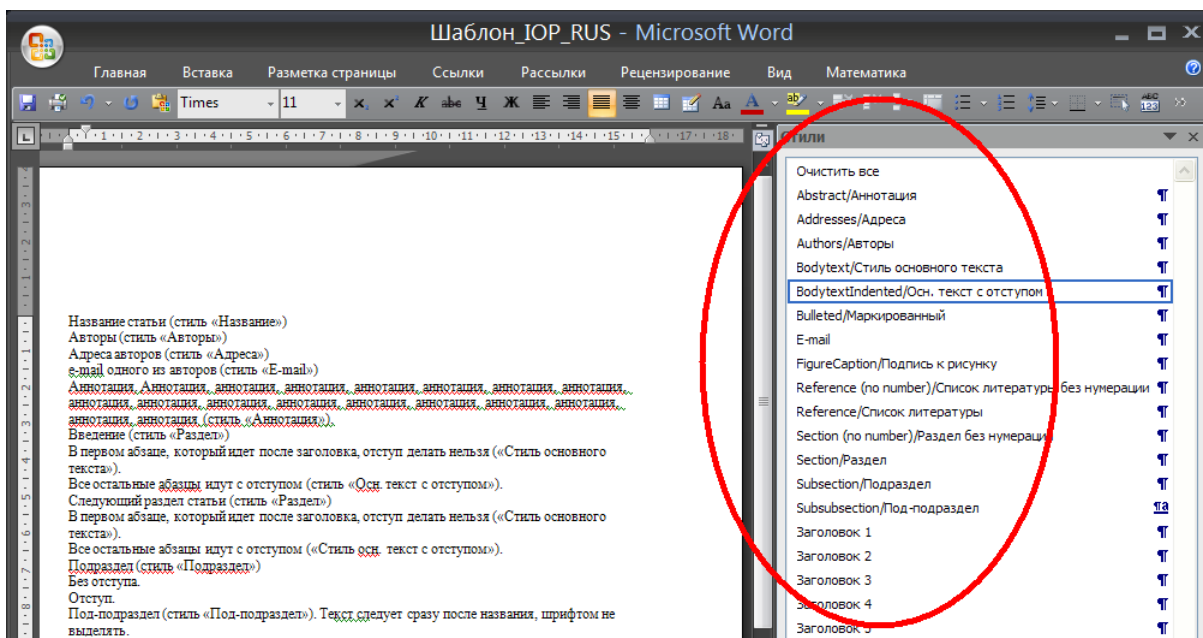
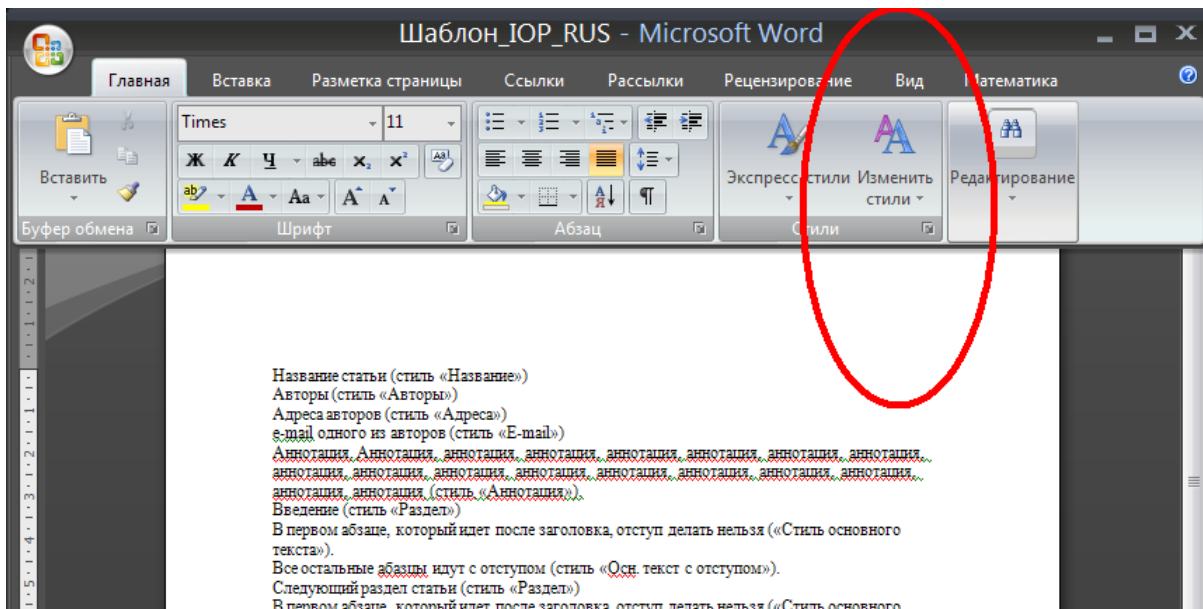
- [2] Kozyrev N A, Gusev A I, Galevskii G V, Kryukov R E, Osetkovskii I V, Usoltsev A A and Kozyreva O A Pat. of the Russian Federation 26641590 IPC8B23 K35 / 36V 23 K35 / No. 2016125085/02 (039292)
- [3] Dvornikov L T and Korneyev V A 2018 Pat. application No. 2018114343 RU
- [4] Egan D P et al 2010 *Method for Producing Super-hard Coated Abrasive* Pat. of Ireland No 2005825 IPC C23C14 / 24
- [5] Blokhin A L 2005 *Project Method as a Person-oriented Pedagogic Technology* Cand Sci. Thesis in Pedagogics (Rostov on Don) p 154
- [6] Federal norms and regulations in the field of industrial safety “*Instruction for the calculation and use of anchor support in coal mines*” (approved by the Order of Rostekhnadzor No. 610 from December 17, 2013)
- [5] Federal rules and regulations in the field of industrial safety “*Instruction for the dynamic phenomena forecast and rock massif monitoring during mining of coal deposits*” (approved by the Order of the Federal Service for Environmental, Technological and Nuclear Supervision on August 15, 2016 No. 339) pp 129
- [7] Federal Law “*On Concessional Agreements*” No 115-FZ dated 21 July 2005 (edited on 03 August 2018)
- [8] Dezhina I “*Triple Helix*” in the Innovation System of Russia <http://institutions.com/innovations/265-q-q-.html>
- [9] *Annual report of Rospatent for 2015* <http://old.rupto.ru/about/reports/2015>
- [10] *Website of Public company “EVRAZ”* <http://www.evraz.com/ru/>
- [11] ~~М В Тепляшин и В Г Комков. Исследование влияния легирующих элементов на износостойкость в сплавах, предназначенных для электрошлаковой наплавки билл молотковых мельниц // Электронное научное издание «Ученые заметки ТОГУ» 2013, Том 4, № 4, С. 1554–1561.~~
Тепляшин М В и Комков В Г 2013 *Ученые заметки ТОГУ* Том 4 № 4 1554–61
- [12] ~~Патон Б Е. Технология электрической сварки металлов и сплавов плавлением / М.: Металлургия, 1974—768с.~~
Патон Б Е 1974 *Технология Электрической Сварки Металлов и Сплавов Плавлением* (Москва: Металлургия) с 768
- [13] ~~R Kejžar & J Grum. Hardfacing of Wear Resistant Deposits by MAG Welding with a Flux-Cored Wire Having Graphite in Its Filling \ Welding International. 2005. Vol 20. P. 961-976.~~
Kejžar R and Grum J 2015 *Welding International* **20** 961–976

9. Использование шаблона

Шаблон содержит предустановленные стили, к которым можно быстро и удобно обращаться с помощью панели инструментов. Чтобы отформатировать элементы текста, выберите соответствующий стиль в закладке «Стили». Ниже приводится пошаговая инструкция.

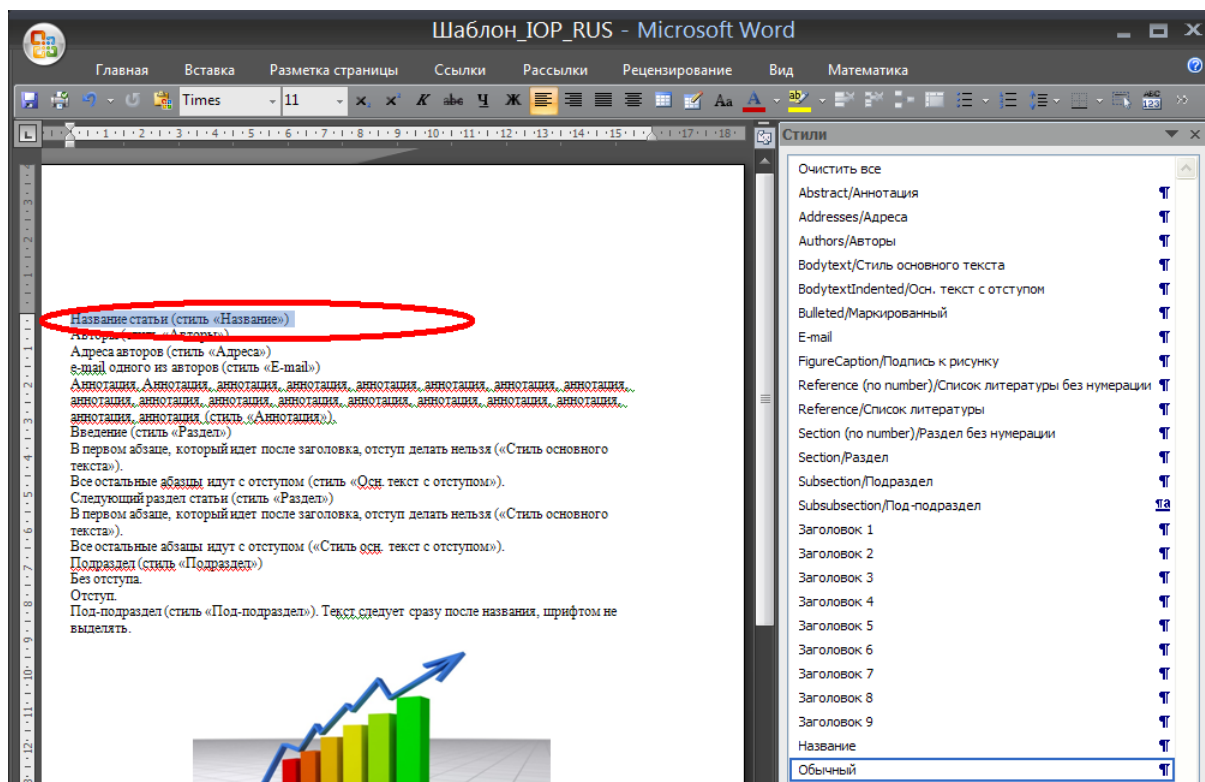
1) Скопировать и вставить текст статьи в шаблон.

2) Открыть вкладку «Стили».

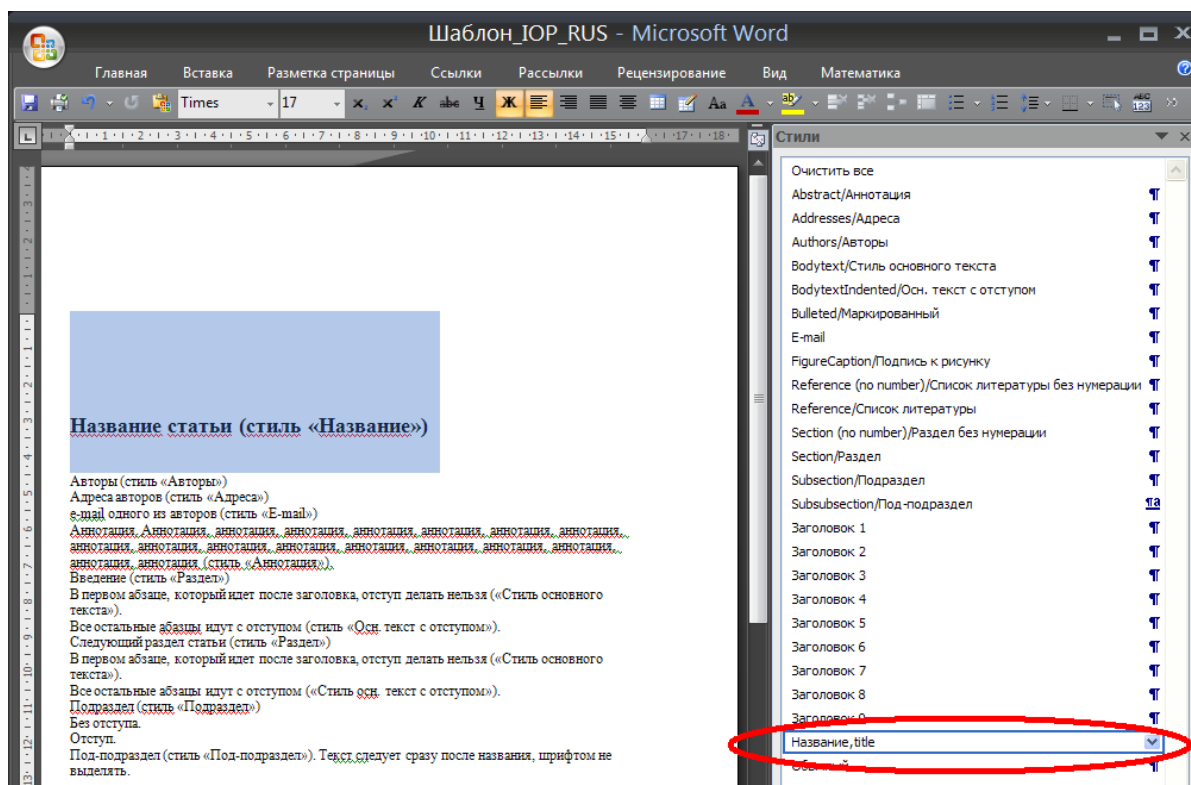


Количество печатных знаков в статье, предоставляемой на русском языке для перевода, не должно превышать 14 000, включая пробелы.

3) Выделить элемент статьи, который необходимо форматировать.



4) Выбрать соответствующий стиль.



Количество печатных знаков в статье, предоставляемой на русском языке для перевода, не должно превышать 14 000, включая пробелы.

